

3.4 Angular momentum transport mechanisms

- 3.3.2 で Shakura - Sunyaev α を導入した。
 - $\nu = \alpha c_s h$: turbulent viscosity.
- 乱流の起源は? α はどれくらい大きくて, disk の物理状態にどう依存するの?
- ここでは, 重要な内盤物理を考える.

3.4.1 The Rayleigh criterion

回転の安定性

non-magnetized, non-self-gravitating disk に対して,
($M_{\text{disk}} / (4\pi r^2 h) < 1$)

その回転の安定性は, Rayleigh criterion で与えられた.

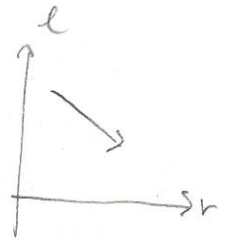
- 微小な擾動 $e^{i\omega t}$ を考える. 導出は 17: 今度.

$$\frac{d\ell}{dr} = \frac{d}{dr} (r^2 \Omega) < 0 \quad (3.57)$$

不安定条件

disk の内側ほど, 角運動量が大きい

(=) Keplerian rotation : $\ell \propto \sqrt{r}$
つまり安定

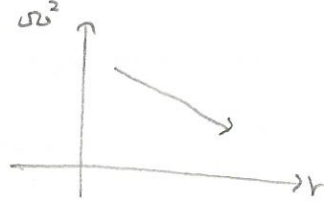


3.4.2 The magnetorotational instability (MRI)

◦ 磁場と gas の coupling → disk を不安定にする。

◦ weakly magnetized disk flow の線形的に不安定になる条件

$$\frac{d}{dr}(\Omega^2) < 0 \quad (3.58)$$



⇨ Keplerian disks では満たされない。 ($\Omega_K^2 \propto r^{-3}$)

◦ 磁場と couple した disk の線形不安定性

→ magnetorotational instability (MRI)

/ Balbus - Hawley instability

以下、この MRI について考えよう。

ideal magnetohydrodynamics (MHD)

3つの式

equations of continuity

eq. of momentum conservation

$$\frac{\partial \rho}{\partial t} + \nabla \cdot (\rho \mathbf{v}) = 0 \quad (3.59)$$

magnetic tension

$$\frac{\partial \mathbf{v}}{\partial t} + (\mathbf{v} \cdot \nabla) \mathbf{v} = -\frac{1}{\rho} \nabla (P + \frac{B^2}{8\pi}) - \nabla \Phi + \frac{1}{4\pi\rho} (\mathbf{B} \cdot \nabla) \mathbf{B} \quad (3.60)$$

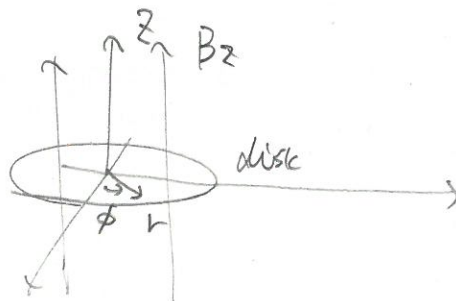
eq. of magnetic induction

$$\frac{\partial \mathbf{B}}{\partial t} = \nabla \times (\mathbf{v} \times \mathbf{B}) \quad (3.61)$$

軸対称、非圧縮の disk へ、磁場は垂直に → S として

いる状態を考えた → $e = \text{const}$

円筒座標系



eq. of motion

$$r: \ddot{r} - r\dot{\phi}^2 = -\frac{d\Phi}{dr} + f_r \quad (3.62)$$

$$\frac{\partial \chi}{\partial t} = \dot{\chi}$$

$$\nabla \chi = 0 \quad (\text{非圧縮})$$

$$\phi: r\ddot{\phi} + 2\dot{r}\dot{\phi} = f_\phi \quad (3.63)$$

$$P = \text{const?}$$

at r_0 の微小な領域に注目

$f = f_0$ 場 r_0 付近

disk と共に回転可能. Cartesian coordinate x, y 導入

$$r = r_0 + \chi \quad (3.64)$$

$$\phi = \omega t + \frac{y}{r_0} \quad (3.65)$$

($\chi, y \ll r_0$)

(3.62)

$$\dot{r} = \dot{\chi}, \quad \ddot{r} = \ddot{\chi}$$

$$\dot{\phi} = \omega + \frac{\dot{y}}{r_0}, \quad \ddot{\phi} = \frac{\ddot{y}}{r_0} \quad (\omega \text{ は時間依存しないとして仮定})$$

2次以上の項を無視

(3.62)

$$\rightarrow \ddot{\chi} - (r_0 + \chi) \left(\omega + \frac{\dot{y}}{r_0} \right)^2 = -\frac{d\Phi}{dr} + f_r \quad \rightarrow ?$$

$$\ddot{\chi} - r_0\omega^2 - 2\omega\dot{y} - \chi\omega^2 = -\frac{d\Phi}{dr} + f_r$$

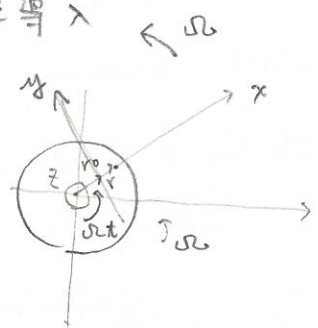
$$\ddot{\chi} - 2\omega\dot{y} = -\chi \frac{d\omega^2}{d\ln r} + f_\chi$$

(3.63)

$$\rightarrow (r_0 + \chi) \cdot \frac{\ddot{y}}{r_0} + 2\dot{\chi} \left(\omega + \frac{\dot{y}}{r_0} \right) = f_\phi$$

(3.65)

$$\ddot{y} + 2\omega\dot{\chi} = f_y$$



↑
 磁場の項 (f_1, f_2) がなければ、 r_0 の回転が少しづつ減る
 と $\omega = 3$ の周転運動を示している。
 の式は

B_2 があると ω が、磁気力線が曲げられることによる
 magnetic tension が生じる \rightarrow 回転運動を妨げる
 向きに働く。

○ B_2 の効果を考える。

B の変化 δB と magnetic tension

まず、一様な状態に微小な変動を加えることを考える

$$\rho = \rho_0 \quad (\text{非圧縮流体なので一様とする})$$

$$\psi = \psi_1(r, t)$$

$$B = B_0 + B_1(r, t)$$

(3.59) ~ (3.61) は、

$$\nabla \cdot v_1 = 0 \quad (3.a)$$

$$\frac{\partial v_1}{\partial t} + (v_1 \cdot \nabla) v_1 = -\frac{1}{\rho_0} \nabla \left(p_1 + \frac{B_0 \cdot B_1}{8\pi} \right) - \nabla \Phi + \frac{1}{4\pi \rho_0} (B_0 \cdot \nabla) B_1$$

$$\frac{\partial B_1}{\partial t} = \nabla \times (v_1 \times B_0) \quad (3.c)$$

$$\pm \text{さらに、} \nabla \cdot B_1 = 0 \quad (\text{Maxwell eq.}) \quad (3.d)$$

2次以上の項は微小なので無視

(3.c) に $\nabla \cdot$ をスカラー的にかけた。(3.a) (3.d) より、

$$\nabla^2 \left(p_1 + \frac{1}{8\pi} B_0 \cdot B_1 \right) = 0$$

積分して任意の関数を 0 とすると、0 とできる

(...のか? は物理的イイ?)

また、(3.2)は

$$\frac{\partial \psi_1}{\partial t} = \frac{1}{4\pi\rho} (B_0 \cdot \nabla) \psi_1 \quad (3.2')$$

一方、(3.3)は

$$\frac{\partial B_1}{\partial t} = \nabla \times (\psi_1 \times B_0)$$

$$= (B_0 \nabla) \psi_1 - \underbrace{(\psi_1 \nabla) B_0}_{=0} + \psi_1 \underbrace{(\nabla \cdot B_0)}_{=0} - B_0 \underbrace{(\nabla \cdot \psi_1)}_{=0} \quad (\because (3.2))$$

$$= (B_0 \nabla) \psi_1 \quad (3.3')$$

$$\begin{aligned} \nabla \times (A \times B) &= (B \cdot \nabla) A - (A \cdot \nabla) B \\ &\quad + A(\nabla \cdot B) - B(\nabla \cdot A) \end{aligned}$$

ここで、 $B_0 = (0, 0, B_z)$ とした。

$$B_0 \nabla = B_z \frac{\partial}{\partial z} \quad (\text{スカラー}) \quad (3.4) \quad (3.5)$$

(3.2') の両辺を z 方向に偏微分し、(3.3') を考慮すると

$$\frac{\partial^2 \psi_1}{\partial t^2} = \frac{1}{4\pi\rho} (B_z \frac{\partial}{\partial z}) \frac{\partial B_1}{\partial t}$$

$$= \frac{1}{4\pi\rho} B_z^2 \frac{\partial^2 \psi_1}{\partial z^2}$$

$$v_A = \sqrt{\frac{B_z^2}{4\pi\rho}} \quad \text{とすると}$$

$$\frac{\partial^2 \psi_1}{\partial t^2} = v_A^2 \frac{\partial^2 \psi_1}{\partial z^2}$$

となり、 z 方向に伝播する波動方程式となることがわかった。

→ 振動は波として伝わる。(非圧縮流体中にも波が存在)。

次に、摂動を $\Phi \propto \exp(i(\omega t - kz))$

とする。このとき、磁場の変動 B_1 は、(3.6) を t, z ごとに考えよ
 ($t = t_0 + \dots$)
 $(B_1)_\phi \delta B = -ik B_z \Phi \quad (3.68)$

magnetic tension は、 $\frac{1}{4\pi\rho} (\mathbf{B}_0 \cdot \nabla) B_1$ $t_0 \rightarrow t_1$.

$$\begin{aligned} f &= \frac{1}{4\pi\rho} B_z \frac{\partial}{\partial z} \cdot (-ik B_z \Phi) \\ &= -\frac{B_z^2}{4\pi\rho} k^2 \Phi \\ &= -(k v_A)^2 \Phi \end{aligned}$$

整理

今、disk 中の、 $r = r_0$ という場所に注目していた。

$x, y \dots r, \phi$ 方向の微小な塊

(r_0 にある塊の、 r, ϕ 方向の微小な摂動)

$B_1 \dots$ 一様な磁場 B_0 に加わる摂動。
 (δB)

すべて $\Phi \propto e^{i(\omega t - kz)}$ の摂動

→ Lagrangian 的...?

(3.66) は次のようになる。

$$-\omega^2 x - 2i\omega\Omega y = -x \frac{d\omega^2}{d\ln r} - (k v_A)^2 x \quad (3.70)$$

$$-\omega^2 y + 2i\omega\Omega x = -(k v_A)^2 y \quad (3.71)$$

(3.70) (3.71) より

$$\omega^4 - \omega^2 \left[\frac{d\omega^2}{d\ln r} + 4\Omega^2 + 2(k v_A)^2 \right] + (k v_A)^2 \left[(k v_A)^2 + \frac{d\omega^2}{d\ln r} \right] = 0 \quad (3.72)$$

$\omega^2 > 0 \dots e^{i(\omega t - kr)}$ は振動 \rightarrow 擾動は成長しない

$\omega^2 < 0 \dots$ 擾動は exponential で成長.

$$\hookrightarrow (kV_A)^2 + \frac{d\omega^2}{d \ln r} < 0 \quad (3.73)$$

弱い磁場を考えると、 $B_z \rightarrow 0, V_A \rightarrow 0$ で (3.73) は

$$\frac{d\omega^2}{d \ln r} < 0$$

$$\frac{d\omega^2}{dr} < 0 \quad (\because \frac{d}{d \ln r} = r \frac{d}{dr}, r > 0)$$

(+)、(3.58) から導かれる。

MRI の性質をもう少し詳しく見る

growth rate と 磁場の強さの基準を示す。

(3.72) で、Keplerian rotation を仮定すると、

$$\begin{aligned} \frac{d\omega^2}{d \ln r} &= \frac{dr}{d \ln r} \frac{d\omega^2}{dr} \\ &= r \cdot -3 \frac{GM_*}{r^4} \quad (\because \omega = \sqrt{\frac{GM_*}{r^3}}) \\ &= -3 \omega^2 \end{aligned}$$

$$\text{F) } (kV_A)^2 - 3\omega^2 < 0$$

$$\underline{k_{\text{crit}} V_A = \sqrt{3} \omega} \quad (3.74)$$

$k < k_{\text{crit}}$ で不安定

(\Rightarrow) $\lambda > \lambda_{\text{crit}} = 2\pi/k_{\text{crit}}$ のスケールで不安定

B_z が強くなる、 V_A は大きくなる、 k_{crit} は小さくなる

$\rightarrow B$ が強いと不安定が起こるスケールは大きくなる。

λ_{crit} が円盤の鉛直方向のスケール $\lambda = 2h$ ($\lambda > 2h$)

不安定は起こらなくなる.

$$\lambda_{crit} = \frac{2\pi}{k_{crit}} < 2h$$

$$2\pi \cdot \frac{1}{\sqrt{3}\omega_0} \cdot \sqrt{\frac{B^2}{4\pi\rho}} < 2 \frac{c_s}{\omega_0}$$

$$B^2 < \frac{12}{\pi} \rho c_s^2 \quad (3.75)$$

plasma β : 熱運動による gas 圧と magnetic pressure の比

$$\beta \equiv \frac{8\pi P}{B^2} \quad (3.76)$$

を用いて, (3.75) の条件は,

$$\beta > \frac{2\pi^2}{3} \quad (3.77)$$

と書ける.

つまり, 熱的圧力との割合に近づくような磁場 ($\beta \sim 1$) は強くなる.

(3.73) の導出

$$\omega^2 = \frac{1}{2} \left\{ \left[\frac{d\omega^2}{d\tau} + 4\omega^2 + 2(kVA)^2 \right] \pm \sqrt{\left[\frac{d\omega^2}{d\tau} + 4\omega^2 + 2(kVA)^2 \right]^2 - 4(kVA)^2 \left[(kVA)^2 + \frac{d\omega^2}{d\tau} \right]} \right\} < 0$$

$$\left[\frac{d\omega^2}{d\tau} + 4\omega^2 + 2(kVA)^2 \right]^2 < \left[\frac{d\omega^2}{d\tau} + 4\omega^2 + 2(kVA)^2 \right]^2 - 4(kVA)^2 \left[(kVA)^2 + \frac{d\omega^2}{d\tau} \right]$$

$$\therefore (kVA)^2 + \frac{d\omega^2}{d\tau} < 0$$

と、 $\omega^2 < 0$ になる...

growth rate (if $\omega^2 > 0$ is stable, $\omega^2 < 0$ is unstable)

Ex. $\omega^2 = \omega^2 K F$,

$$\omega^2 = \frac{1}{2} \left\{ -(\omega^2 + 2(KVA)^2) \pm \sqrt{(\omega^2 + 2(KVA)^2)^2 - 4(KVA)^2(\omega^2 - 3\omega^2)} \right\}$$

$\omega^4 + 16(KVA)^2\omega^2$

$$\therefore \frac{\omega^2}{\omega^2} = -\left(\frac{KVA}{\omega}\right)^2 \pm \frac{1}{2} \sqrt{16\left(\frac{KVA}{\omega}\right)^2 + 1} - \frac{1}{2}$$

$$\frac{d(\omega^2/\omega^2)}{d(KVA/\omega)} = -2\left(\frac{KVA}{\omega}\right) \pm \frac{1}{2} \cdot 16 \cdot 2\left(\frac{KVA}{\omega}\right) \cdot \frac{1}{2} \frac{1}{\sqrt{16(\quad)^2 + 1}}$$

$$= -2\left(\frac{KVA}{\omega}\right) \left\{ 1 \mp \frac{8}{\sqrt{16(\quad)^2 + 1}} \right\}$$

$$\frac{d(\omega^2/\omega^2)}{d(KVA/\omega)} = 0 \text{ at } \omega^2$$

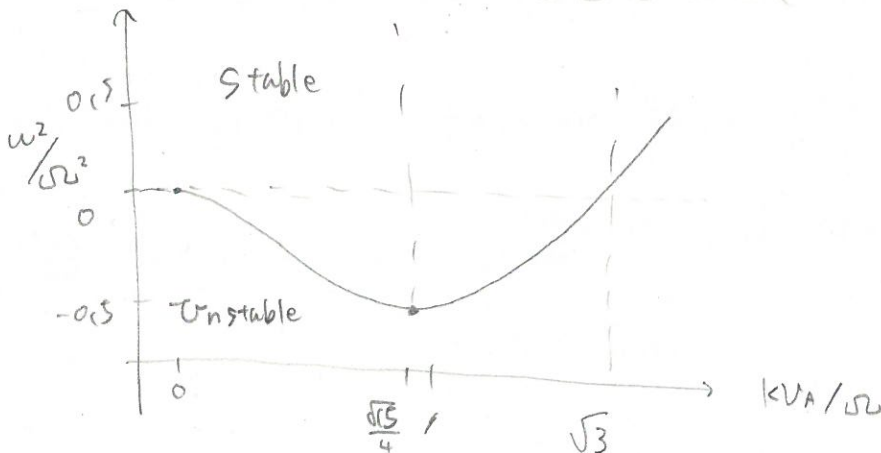
$$1 = \frac{64}{16\left(\frac{KVA}{\omega}\right)^2 + 1}$$

$$4/16\left(\frac{KVA}{\omega}\right)^2 = 63$$

$$\left(\frac{KVA}{\omega}\right)_{\max} = \frac{1}{4} \omega \quad (3.28)$$

→ Ex.

$$|\omega_{\max}| = \frac{3}{4} \omega \quad (3.29)$$



$$e^{\frac{i(\omega t - kz)}{v}}$$

ω is growth rate.

(3.79) より、最大で 1 回転周期 となる。

→ この非常に短いタイムスケールは、

MR I の効果と、他の効果で MR I を妨げるのは

難し... ことを示している。

MR I が dominant となる!